

**التخليص الجزيئي للفطريات الممرضة (*Fusarium oxysporum* f. sp. *lycopersici* (Sacc.) Rifai و مقاومتها احياناً بـ *Rhizoctonia solani* Kühn و Snyder and Hansen
*Trichoderma harzianum***

كريم عبد الحسين ردام الشجيري
 المعهد التقني-المسيب-جامعة الفرات الاوسط

الخلاصة:

نفذت هذه الدراسة في كلية الزراعة-جامعة كربلاء بهدف عزل و تشخيص الفطريين الممرضين *Fusarium* و *Rhizoctonia solani* و *oxysporum* f. sp. *lycopersici* (Polymerase chain reaction, PCR) و تحديد التتابع النيوكوتيني لحزن الحامض النووي المضاعفة و كذلك مقاومتها بـ استعمال فطر المقاومة الاحيائية *Trichoderma harzianum* و بعض التراكيب الوراثية لنبات الطماطة (Ginan، Wardeh، Gazalah و Selmoren). اثبت تفاعل البلمرة المتسلسل (PCR) و تحليل التتابع النيوكوتيني لحزنة الحامض النووي المضاعفة بواسطة تفاعل البلمرة المتسلسل (BLAST) ان (Basic Local Alignment Search Tool) ان الفطريات المشخصة هي *F. oxysporum* f. sp. *lycopersici* و *R. solani*. كما وجد من خلال مقارنة التتابع النيوكوتيني مع البيانات المتوفرة في قاعدة المركز الوطني لمعلومات التقنية الحيوية (National Center for Biotechnology Information, NCBI) ان سلالة الفطر *R. solani* Information, NCBI المشخصة هي غير معروفة سابقاً و قد تم تسجيلها في المركز الوطني لمعلومات التقنية الحيوية (NCBI) تحت رقم الادخال KY283953.

اظهر الفطر *T. harzianum* قدرة تضادية عالية في خفض معدلات نمو الفطريين *R. solani* و *F. oxysporum* و *f.sp. lycopersici* و التي اختلفت بفارق معنوي عن معاملة المقارنة التي وصلت فيها نمو الفطريين الممرضين الى 9.00 و 6.36 سم، على التوالي. كما وجد ان هجين الطماطة Selmoren بين الهجن الارoxic (Ginan و Wardeh و Gazalah) المستعملة في التجربة اكثر حساسية للفطريات الممرضة، في حين اظهر هجين الطماطة Ginan الاكثر مقاومة للفطريات *F. oxysporum* f. sp. *lycopersici* و *R. solani*.

Molecular identification of the pathogenic fungi *Fusarium oxysporum* f. sp. *lycopersici* (Sacc.) Snyder and Hansen and *Rhizoctonia solani* Kühn and their biological control using the fungus *Trichoderma harzianum* Rifai

Summary:

This study was conducted at the College of Agriculture- Karbala University with the aim of isolating and identifying the pathogenic fungi *Fusarium oxysporum* f. sp. *lycopersici* and *Rhizoctonia solani* using the polymerase chain reaction (PCR) and determining the nucleotide sequence of PCR-amplified products, as well as their resistance using the biological control fungus *Trichoderma harzianum* and some tomato genotypes (Ginan·Wardeh·Gazalah and Selmoren).

Results, obtained from the PCR amplification and analysis of nucleotide sequence of PCR-amplified products and using BLAST program (Basic Local Alignment Search Tool), had proven that the isolated pathogenic fungi are belonged to *F. oxysporum* f. sp. *lycopersici* and *R. solani*. From the comparison between the nucleotide sequences obtained from the identified fungi and the nucleotide sequences belonged to the same fungi and available at NCBI, it was revealed that the identified fungal strain of *R. solani* was not previously recorded at the National Center for Biotechnology Information (NCBI), therefore; the identified sequence of *R. solani* has been deposited and recorded in the GenBank database (NCBI) under the accession number KY283953.

It was also showed that the fungus *T. harzianum* had high antagonistic potential to significantly inhibit the pathogens *R. solani* and *F. oxysporum* f. sp. *lycopersici*, on PDA medium, which differentiated significantly, compared to the control treatment when the fungal growth reached 9.00 and 6.36 cm, respectively. Among the other tested tomato genotypes, representing Ginan · Wardeh·Gazalah and Selmoren, the tomato hybrid "Selmoren" was found to be highly susceptible to the pathogenic fungi; whereas the Ginan tomato hybrid was more resistant to *R. solani* and *F. oxysporum* f. sp. *lycopersici* among the other used genotypes.

الواقعة في المنطقة الصحراوية في محافظة كربلاء، أما الفطر *R. solani*. جلبت بعض النباتات المصابة إلى المختبر و قطعت جذورها و قواعد ساقنها إلى قطع صغيرة و غسلت بالماء الجاري لإزالة الأتربة العالقة بها ثم عقمت بمحلول هايبو كلورايت الصوديوم (1%) لمدة دقيقتين و بعدها غسلت بماء مقطر معقم و نشافت بورق ترشيح لإزالة الماء الزائد منها. زرعت القطع النباتية في أطباق بتري حاوية على وسط البطاطا دكستروز Potato Dextrose Agar، (المضاف إليه المضاد الحيوي كلورام فينيкол Chloramphenicol) بتركيز 200 ملغم/ لتر. وضعت الإطباق في الحاضنة في درجة حرارة 25 ± 2 ملمدة 3 أيام ثم ظهر نمو الفطر قز *R. solani* و جرى تنقيته على نفس الوسط الغذائي باتباع طريقة طرف الهيافا (Hyphal Tip). اختبرت القدرة الامراضية على بندر الطماطة (صنف Money Marker) باتباع الخطوات المتسلسلة لفرضيات كوخ للتأكد من المسبب المرضي (الكعي و اخرون، 2009). شخصت الفطريات الممرضة باستخدام تقنية تفاعل البلمرة المتسلسل (PCR) و تحديد تتابع القواعد النايتروجينية (Nucleotide sequence) وفق طريقة العمل الموصوفة لاحقا.

F. التَّشِيُّصُ الْجَزِئِيُّ لِلْفَطَرِيْنِ الْمُمْرَضِيْنِ
R. solani و *oxysporum f.sp.lycopersici*

استخلاص الحامض النووي منقوص الاوكسجين (DNA)
و تقدير تركيز و نقافة مستخلص الحامض النووي DNA
استخلاص الحامض النووي (DNA) للفطريات
المعزولة باستخدام العدة (Cat. No: FAPGK100)
المجهزة من قبل شركة فافورجين (Favorgen) تايوان-
الصين.

تفاعل البلمرة المتسلسل (PCR)

اجري اختبار تفاعل البلمرة التسلسلي باستخدام العدة (PCR PreMix, Cat. No. K-2012) المجهزة من قبل شركة Bioneer الكورية المنشأ. نفذ تفاعل البلمرة المتسلسل بحجم 20 ميكروليلتر و الحاوية على 1 ميكروليلتر من كيلو الامامي (ITS1 : TCCGTAGGTGAAACCTGCGG) و الخلفي (TCCTCCGCTTATTGATATGCI) و TS4: 20 ميكروليلتر من الحامض النووي. وضعت جميع المكونات المطلوبة للتفاعل في الانبوبة المجهزة من قبل الشركة المصنعة و اكمال الحجم بالماء (Nuclease free water) إلى 20 ميكروليلتر، تم مضاعفة الحامض النووي للفطر المعزول باستخدام ظروف تفاعل البلمرة المتسلسل المبينة في جدول (1).

المقدمة

تعد مشكلة أمراض النبات المتسbieة عن بعض الفطريات الممرضة مثل *Rhizoctonia solani* و *Fusarium oxysporum* f.sp. *lycopersici* من المشاكل الخطيرة التي تواجهه المزروعات و لاسيما محاصيل الخضر و منها محصول الطماطة (*Solanum lycopersici* Mill) (Mokhtar 2005; Singh 2014; Dehimat 2014; Akrami 2015; Yousefi 2015). استخدمت العديد من الطرق لمقاومة هذه المسببات المرضية منها استخدام المبيدات الكيميائية باعتبارها الطريقة الاسرع لتجحيم الأضرار الناجمة عنها و لكن بسبب الضغط الانتخابي الناتج عن تكرار الاستخدام لهذه المبيدات الكيميائية أدى إلى ظهور صفة المقاومة فيها (Taylor و اخرون، 2002)، فضلا عن الحاجة الملحة لدى المستهلك بوجود منتجات زراعية خالية من متبقيات السموم و ما تسببه تلك المبيدات من مخاطر في صحة الإنسان و الحيوان و البيئة (Hiluf، 2015). و لهذا برزت أهمية استخدام بعض الاحياء المجهرية و منها الفطر *Trichoderma harzianum* الذي اثبت كفاءته في مقاومة العديد من المسببات المرضية و منها الفطر *R. solani* و *F. oxysporum* و غيرها.

من جانب اخر، يعتبر اختبار تفاعل البلمرة المتسلسل (PCR) من الاختبارات الدقيقة جدا و السريعة في تشخيص الكائنات الحية و منها الفطريات النباتية (Fang و Ramasamy 2015). تهدف هذه التقنية الى مضاعفة منطقة محددة من الحامض النووي (DNA) المرغوب مضاعفته من تراكيز واطئة جدا الى ملايين من النسخ للفحص المنشودة في حينوم الكائن الحي (Cai و اخرون، 2014). استخدمت هذه التقنية في تشخيص العديد من مسببات امراض النبات و منها الفطريات (Romberg و Alaei و Arif 2007 و Davis 2012، اخرون، 2012).

نظراً للاهمية الاقتصادية لمحصول الطماطة و
الاضرار الناجمة عن الفطريات الممرضة، فقد هدفت هذه
الدراسة الى تشخيص الفطريات *R. solani* و *F. oxysporum* f.sp. *lycopersici*
كفاءة الفطر *T. harzianum* في حماية بذور ونباتات
اربعة تراكيب وراثية من الطماطة من الاصابة بالفطريات
المذكورة اعلاه.

المواد وطرائق العمل (Materials and Methods)

تم الحصول على الفطر *T. harzianum* من مختبر الدراسات العليا في كلية الزراعة-جامعة الكوفة و المشخصة سابقاً من قبل أ. د. مجید متبع ديوان. كما تم الحصول على عزل من الفطريات *F. oxysporum* f.sp. *R. solani* و *lycopersici* من احدى مزارع الطماطة

جدول 1: خطوات و ظروف تفاعل البلمرة المتسلسل (PCR) المستخدمة لمضاعفة الحامض النووي (DNA) للفطر المغزول.

عدد الدورات	الوقت	درجة الحرارة (م°)	خطوات تفاعل البلمرة المتسلسل
1	5 دقائق	94	نسخ الـ DNA الاولى
35	30 ثانية	94	نسخ الـ DNA النهائي
	50 ثانية	50	ارتباط البادئ
	1 دقيقة	72	استطالة البادئ
1	5 دقيقة	72	استطالة البادئ النهائية
		4	Hold

زجاجي حجمه 500 مل وعمق في جهاز الموصدة (Autoclave) في درجة حرارة 121 °م وضغط 15 باوند/أنج² لمدة ساعة واحدة ثم أعيدت عملية التعقيم في اليوم التالي تحت نفس درجة الحرارة و الضغط والوقت المذكورين اعلاه. بعد انخفاض درجة الحرارة لـ ٤٠°C كل دورق بأربعة أفراد قطر كل منها 0.5 سم من وسط البطاطا سكروز اكر(P.D.A) potato Dextrose Agar، النامية عليه الفطر التضادي والفطريات الممرضة ويشكل منفرد مع ترك دورق بدون تلقيح كمعاملة مقارنة. حضنت جميع الدوارق في درجة حرارة 25 ± 2 °م لمدة 10 أيام اخذين بنظر الاعتبار رج الدوارق كل 2-3 يوم لتوزيع الفطر على جميع البذور(Dewan, 1989). حفظ اللفاح في الثلاجة لحين الاستعمال.

القدرة التضادية للفطر *T. harzianum* ضد الفطريين الممرضين في *F. oxysporum* f.sp. *lycopersici* أطباق بترى

نفذت هذه التجربة باعتماد طريقة الزرع المزدوج (Dual Culture Technique) لاختبار القدرة التضادية للفطر *T. harzianum* ضد الفطريين الممرضين، إذ قسم طبق بترى حاوي على الوسط الغذائي P.D.A. إلى قسمين متساوين، و لقح مركز القسم الأول بقرص قطرة 0.5 سم من الوسط الغذائي النامي عليه الفطر التضادي بعمر 5 أيام، أما مركز القسم الثاني فقد لقح بقرص مماثل من نمو الفطريين الممرضين و كلا على حده، وكررت كل معاملة أربعة مرات مع تنفيذ معاملة مقارنة بتلقيح مركز القسم الأول من الطبق بالفطر الممرض فقط. وضعت الأطباق بشكل مقلوب في الحاضنة في درجة حرارة $25\pm2^{\circ}\text{C}$ ، و بعد وصول نمو الفطر *R. solani* إلى حافة الطبق تم قياس معدل أقطار النمو للفطريات الممرضة. تم حساب النسبة المئوية لتنشيط الفطريات الممرضة حسب معادلة Abbot الواردة في شعبان والملاح (1993).

$$\text{معدل أقطار النمو الفطري في المقارنة} = \frac{\text{معدل أقطار النمو الفطري في المقارنة}}{\text{معدل أقطار النمو الفطري في المقارنة}} \times 100$$

و بعد انتهاء عملية التضخيم اجريت عملية ترحيل النواتج بواسطة طريقة الترحيل الكهربائي (Electrophoresis) واستعمال طبقة الهلام (Agarose gel) بتركيز 1% للكشف عن الحامض النووي المضاعف و بفولية 100 مل امبير. و ترك لحين سريان الحامض النووي المعلم (DNA ladder) و الحامض النووي المضاعف marker. بعد اكتمال الترحيل، وضعت طبقة هلام الاكاروز تحت الاشعة فوق البنفسجية (Ultraviolet light) لملاحظة الـ DNA المتداخلة مع صبغة الايثيديوم بروماید (Ethidium bromide) و اخذت صورة لها.

تحليل تسلسل قواعد الحامض النووي (DNA) للفطريات الممرضة

تم ارسال نواتج الحامض النووي (PCR) المضاعفة من الفطريات المعزولة بواسطة amplicons (تفاعل البلمرة المتسلسل (PCR) الى شركة Macrogen الكورية لغرض تحديد تسلسل القواعد النايتروجينية للحامض النووي sequence (Nucleotide) وبالاتجاهين الامامي والخلفي للنواتج المضاعفة من العزلات الفطرية. حللت التابعات النيوكلوتيدية باستخدام برنامج Basic Local Alignment Search Tool (BLAST) لمقارنتها مع البيانات المتوفرة في المركز الوطني لمعلومات التقنية الحيوية National Center for Biotechnology (Information, NCBI) والعائدة لنفس العزلات الفطرية المستعملة في هذه الدراسة.

أکثار لقاح الفطريات

حضر لقاح الفطريات *T. harzianum* و *R. solani* و *oxysporium* f.sp. *lycopersici* باستعمال بذور الدخن المحلي (*Panicum millaceum* L.), إذ نفعت البذور بالماء لمدة ساعة واحدة ثم غسلت جيداً لإزالة الأتربة والشوائب منها ثم وضع كل 50 غم منها في دورق

الاصابة بالفطريات المرضيin بتطبيق المعاملات الآتية (Selmoren, Gazalah, Wardeh, Ginan) (جدول 2).

كفاءة الفطر *T. harzianum* في حماية بذور ونباتات الطماطة من الإصابة بالفطريات *F. oxysporum* f.sp. *R. solani* و *lycopersici*

تم اختبار كفاءة الفطر *T. harzianum* في حماية بذور ونباتات اربعة تراكيب وراثية من نبات الطماطة جدول (2) المعاملات المنفذة في التجربة

المعاملات	كمية وطريقة الإضافة
<i>R. solani</i>	0.5% بذور دخن معقمة المحمل عليها الفطر <i>R. solani</i> أضيفت إلى التربة.
<i>F. oxysporum</i> f.sp. <i>lycopersici</i>	0.5% بذور دخن معقمة المحمل عليها الفطر <i>lycopersici</i> أضيفت إلى التربة.
<i>T. harzianum</i>	0.5% بذور دخن معقمة المحمل عليها الفطر <i>T. harzianum</i> أضيفت إلى التربة.
<i>T. harzianum +F. oxysporum</i> f.sp. <i>lycopersici</i>	0.5% بذور دخن معقمة محمل عليها الفطر <i>T. harzianum</i> مع 0.5% <i>F. oxysporum</i> f.sp. <i>lycopersici</i> أضيفت إلى التربة.
<i>T. harzianum +R. solani</i>	0.5% بذور دخن معقمة محمل عليها الفطر <i>R. solani</i> أضيفت إلى التربة.
مقارنة	1% بذور دخن معقمة أضيفت إلى التربة.

تصميم التجارب وتحليلها إحصائيا

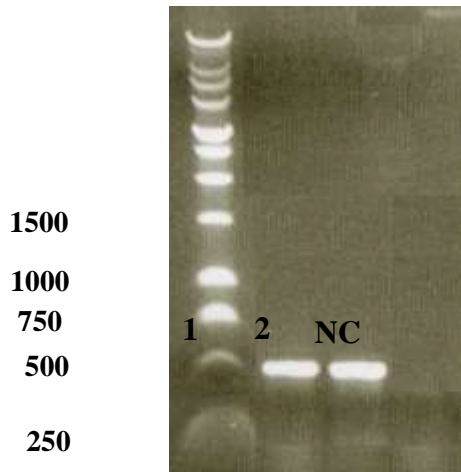
حللت جميع التجارب احصائيا وفق التصميم العشوائي الكامل (C.R.D.) و تم مقارنة المتوسطات الحسابية باستخدام أقل فرق معنوي (L.S.D.) تحت مستوى احتمال 0.01 للتجارب المختبرية و 0.05 لتجارب الاصناف (الراوي و خلف الله، 1988).

النتائج و المناقشة (Results and Discussion)

تشخيص الفطريات *F. oxysporum* f.sp. *R. solani* و *lycopersici*

اظهرت نتائج استخلاص الحامض النووي (DNA) من الفطريات الممرضة و تعریضه الى تفاعل البلمرة المتسلسل (PCR) امكانية مضاعفة حزم الحامض النووي DNA و بالحجم المتوفع (500 قاعدة نايتروجينية) باستخدام البوادى الامامية و الخلفية (Forward and reverse primers) الدراسة.

لوثرت تربة مزيجية (معقمة بواسطة الفورمالين) بالفطريات و حسب المعاملات المبينة في الجدول اعلاه بعد وضعها في كيس سيلوفين لخلطها بصورة جيدة و توزيعها بمعدل 2 كغم تربة ملوثة لكل أصيص (قطر 19 سم و عمق 15 سم). سقيت جميع الاصناف بالماء و بعد يومين تم زراعة الاصناف ببذور كل من التراكيب الوراثية لنبات الطماطة بشكل مفرد و بواقع 15 بذرة/ أصيص. رتبت الأصص بصورة عشوائية في مكان تنفيذ التجربة و سقيت باحتراس و بعد مرور 21 يوما من الزراعة تم حساب النسبة المئوية للإنبات. بعد مرور 35 يوما، قلعت 5-3 نباتات اختيرت بصورة عشوائية من كل مكرر ضمن المعاملة الواحدة و غسلت جيدا تحت ماء جاري لإزالة الأتربة منها و وضعت في اكياس ورقية و تجفيفها لحين ثبوت الوزن لأخذ الأوزان الجافة لها. نفذت هذه التجربة في كلية الزراعة- جامعة كربلاء خلال الموسم الزراعي 2015-2016 (الكعباني و آخرون، 2009).



شكل 1: حزم الحامض النووي (DNA) المضاعفة بواسطة تفاعل البلمرة المتسلسل (PCR) من الفطريات الممرضة F. *NC .1Kp DNA ladder marker =M*. (2) *R. solani* (1) و *oxysporum f.sp. lycopersici* (.Negative control)

مع عزلات نفس الفطر *F. oxysporum* f.sp. (Accession NO. AY263991) المعزولة من كاليفورنيا (*lycopersici*) (Accession NO. EF437289). كما ثبتت النتائج ظهور سلالة جديدة من الفطر *R. solani* R. التي تم تسجيلها في المركز الوطني لمعلومات التقنية الحيوية (NCBI) تحت رقم الالتحاق KY283953 (Accession No.)

كما بينت نتائج تحليل تسلسل القواعد النايتروجينية Nucleotide sequence لجزم الحامض النووي (Nucleotide sequence) المضاعفة (شكل 2 و 3) و باستخدام برنامج BLAST، لمقارنتها مع البيانات المتوفرة في المركز الوطني لمعلومات التقنية الحيوية (NCBI) و العائدة لنفس العزلات الفطرية المستعملة في هذه الدراسة، بأن احد العزلات الفطرية المعزولة في هذه الدراسة هي عائدة للفطر F.

شكل 2: التابع النيوكلوتيدي لحزمة الحامض النووي (*PCR-amplified product*) المضاعفة من الفطر *F. oxysporum* f.sp. *lycopersici* بواسطة تفاعل البلمرة المتسلسل (*PCR*).

....|.....|.....|.....|.....|.....|.....|.....|.....|.....|
 10 20 30 40 50
 TCGCAGGTCC TTCTATTTAA CTGTTGTTGG GCATGTGCAC CCCTTTTTT
|.....|.....|.....|.....|.....|.....|.....|.....|
 60 70 80 90 100
 TTCATCCACA CACACCTGTG CACTTGTGAG CCAGCTTGGA GGACTTTATT
|.....|.....|.....|.....|.....|.....|.....|.....|
 110 120 130 140 150
 GGACTCCTTT TGTCTACTTA ATCCACACAA ACTCAATTAA TTTTAAACTG
|.....|.....|.....|.....|.....|.....|.....|.....|
 160 170 180 190 200
 AATGTATTTT GATGTAACGC ATCTAATACT AAGTTTCAGC AACGGATCTC
|.....|.....|.....|.....|.....|.....|.....|.....|
 210 220 230 240 250
 TTGGCTCTCG CATCGATGAA GAACGCAGAC TCGAAATGCG ATAAGGAATG
|.....|.....|.....|.....|.....|.....|.....|.....|
 260 270 280 290 300
 TGAATTGCAAG ATTTCAGTGA ATCATCGAGG ATCTTTGAAC GCACCTTGCG
|.....|.....|.....|.....|.....|.....|.....|.....|
 310 320 330 340 350
 CTCCCTTGGTA TTCCTTGGAG CATGTAATCT GTATTGAGTA TCATGAAATC
|.....|.....|.....|.....|.....|.....|.....|.....|
 360 370 380 390 400
 TTCAAAGTTA AAATCTTTG TTAACTCAAT TGGTTTCTAT TTTTGGTATT
|.....|.....|.....|.....|.....|.....|.....|.....|
 410 420 430 440 450
 GGAGGTCTTT GCATTGCTTC ACACCTGCTC CTCTTGTTC ATTAGCTGGA
|.....|.....|.....|.....|.....|.....|.....|.....|
 460 470 480 490
 TCTGGCTTCTT ATTCTCTTCTT TCGACTTACCC CTGCTTAACT TATCTATCC

شكل 3: التابع النيوكليوتيدي لحزمة الحامض النووي (PCR-amplified product) المضاعفة من الفطر *R. solani*.

(GenBank) AF153804 and AF153807) الهندية (AF153804 and AF153807) accession number: JF701744 (3). يتضح جدول (3). يتضح من خلال النتائج ان الفطر *R. solani* المعزولة في هذه الدراسة هي سلالة جديدة غير معروفة سابقاً في العالم و تم تسجيلها في المركز الوطني للمعلومات التقنية الحيوية (NCBI).

وُجِدَ مِنْ خَلَالْ مَقَارِنَةِ التَّتَابُعِ الْنِيُوكُلُوْتِيِّيِّ لِحَزْمَةِ الْحَامِضِ النُّورِيِّ لِلْفَطَرِ *R. solani* المَضَاعِفَةَ بِوَاسْطَةِ تَقَاعِيلِ الْبَلْمَرَةِ الْمُتَسَلِّسِ (PCR) مَعَ الْبَيَانَاتِ الْمُتَوَافِرَةِ فِي الْمَرْكَزِ الْوَطَنِيِّ لِمَعْلُومَاتِ الْفَنِيَّةِ الْحَيُّيَّةِ (NCBI) أَنَّ اَعْلَى نَسْبَةِ تَشَابِهِ وَرَاثِيَّ كَانَتْ مَعَ عَزْلَةِ الْفَطَرِ *R. solani* الْعَرَاقِيَّةِ (GenBank Accession number: KF372660) حِينَ كَانَتْ اَكْثَرُهَا تَبَاعِدَاً عَنْ عَزْلَاتِ الْفَطَرِ *R. solani* (GenBank accession numbers: الْاِسْتَرَالِيَّةِ

جدول 3: مقارنة بين نسب التشابه النيوكلوتيدي للفطر *Rhizoctonia solani* المعزول في هذه الدراسة و العزلات الأخرى لنفس الفطر المسجلة عالمياً في المركز الوطني لمعلومات التقنية الحيوية (NCBI).

Fungus	Isolate or strain name	Origin	The most similar sequences in GenBank database	
			GenBank Accession Number	Sequence similarity (%)
<i>Rhizoctonia solani</i>	IQ34	Iraq	KF372660	98
<i>Rhizoctonia solani</i>	IQ40	Iraq	KF372662.1	95
<i>Rhizoctonia solani</i>	IQ49	Iraq	KF372653.1	94
<i>Rhizoctonia solani</i>	IQ35	Iraq	KF372646.1	94
<i>Rhizoctonia solani</i>	IQ23	Iraq	KF372645.1	94
<i>Rhizoctonia solani</i>	MML4001	India	JX535004	94
<i>Rhizoctonia solani</i>	S9	Cuba	KC709576.1	94
<i>Rhizoctonia solani</i>	T-9	Turkey	FR734296.1	94
<i>Rhizoctonia solani</i>	RsolTeaIN1	India	KJ466117	94
<i>Rhizoctonia solani</i>	IQ30	Iraq	KF372657	94
<i>Rhizoctonia solani</i>	B1B6	Greece	FJ480896	94
<i>Rhizoctonia solani</i>	RUPP93	India	JF701784	92
<i>Rhizoctonia solani</i>	RKLC1	India	JF701742	92
<i>Rhizoctonia solani</i>	RKNG9	India	JF701745	91
<i>Rhizoctonia solani</i>	KNM3	India	KC997793	91
<i>Rhizoctonia solani</i>	RDLM6	India	JF701717	90
<i>Rhizoctonia solani</i>	Wd	Australia	AF153806	90
<i>Rhizoctonia solani</i>	CH1	Australia	AF153803	90
<i>Rhizoctonia solani</i>	5 FG-2013	China	KC782852	90
<i>Rhizoctonia solani</i>	3625	Costa Rica	JX294322	90
<i>Rhizoctonia solani</i>	3977	Costa Rica	JX294345	90
<i>Rhizoctonia solani</i>	3629	Costa Rica	JX294325	90
<i>Rhizoctonia solani</i>	A55 FG-2013	China	KC782854	90
<i>Rhizoctonia solani</i>	D064	Venezuela	KU377459	90
<i>Rhizoctonia solani</i>	D054	Venezuela	KU377458	90
<i>Rhizoctonia solani</i>	RKNM8	India	JF701744	89

<i>Rhizoctonia solani</i>	H1	Australia	AF153804	89
<i>Rhizoctonia solani</i>	WDa	Australia	AF153807	89

الفطري حول غزل الفطر الممرض مكوناً لوالب أو تراكيب ضاغطة (Appressoria) التي تخترق خلايا الغزل الفطري لغرض التطفل عليه (Mukhtar و آخرون، 2013)، أضافة إلى زيادة إفراز بعض الأنزيمات مثل B-Glucanase، Cellulase، Chitinase التي لها قدرة على تحطيم الكلوakan (Glucans) في جدر خلايا الفطر الممرض (Rubeena و آخرون، 2014 و Rahnama و آخرون، 2015 و Gautam و آخرون، 2015)، أو قد يعود لقدرت الفطر التضادي على إفراز بعض المركبات السامة، إذ لاحظوا Ramos و آخرون (2009) و Horace و آخرون (2015) أن الفطر *T. harzianum* يفرز مركبات سامة تعرف بالـ Pyrones، إذ ذكروا بأن العزلات القوية التضاد تقرز كبيبات كبيرة من هذا المركب أما الضعيفة منها فلم يلاحظ إنتاجها لهذا هذا المركب (Bonnarme و آخرون، 1997 و Serrano-Carreón و آخرون، 2004).

جدول (4) كفاءة الفطر *R. solani* و *F. oxysporum* f.sp. *lycopersici* في نمو الفطريين الممرضين *T. harzianum* في الوسط الغذائي .P.D.A

الفطريات الممرضة (سم)				المعاملة
% للتبسيط	<i>F. oxysporum</i> f.sp. <i>lycopersici</i>	% للتبسيط	<i>R. solani</i>	
48.42	3.28	51.66	4.35	<i>T. harzianum</i>
0.00	6.36	0.00	9.00	Control
-	2.73	-	3.52	L.S.D.(0.01)

هجين الطماطة Ginan من بين التراكيب الوراثية الأخرى، إذ بلغت نسبة الانبات 73.49% و 76.82% على التوالي. أما بالنسبة إلى اطوال النباتات، فقد وجد ان للفطريات الممرضة *F. oxysporum* f.sp. *R. solani* دور واضح في اختزال معدل طوال النباتات و كان الهجين Selmoren أكثر التراكيب الوراثية تأثيراً، إذ بلغ معدل اطوال النباتات 5.14 و 4.62 سم عند المعاملة بالفطريات الممرضة، على التوالي، و التي اختلفت معنوياً عن معاملة المقارنة غير الحاوية على اي من الفطريين الممرضين (11.13 سم). كما اوضحت النتائج ان اعلى معدل لاطوال النباتات تحقق عند نباتات هجين الطماطة Ginan المعامل بالفطر *T. harzianum* و التي اختلفت معنوياً عن معدل اطوال النباتات في معاملة المقارنة و التي بلغت 20.64 سم. كما اظهرت المعاملة بالفطر *T. harzianum* افضل المعاملات في توفير الحماية لنباتات هجين الطماطة *F. oxysporum* f.sp. *lycopersici* من الاصابة بالفطريات *R. solani* و *Ginan*، إذ معدل طول النبات 18.17 سم و التي لم تختلف بفارق معنوي عن 18.54

القدرة التضادية للفطر *T. harzianum* ضد الفطرين *F. oxysporum* f.sp. *lycopersici* و *R. solani*

اظهرت النتائج المبينة في جدول (4) ان للفطر *T. harzianum* كفاءة تضادية عالية في تثبيط نمو الفطرين الممرضين، اذ بلغت النسبة المئوية للتثبيط الفطريات *R. solani* و *F. oxysporum* f.sp. *lycopersici* و 42.04%， على التوالي و التي اختلفت بفارق معنوي عن معاملة المقارنة الحاوية على الفطريات الممرضة فقط. اتفقت هذه النتائج مع ما اشار اليه الكثير من الباحثين بقدرة الفطر *T. harzianum* في تثبيط نمو العديد من المسببات المرضية مثل الفطريين *R. solani* و *F. oxysporum* f.sp. (Dehimat و Mokhtar 2004، Attitalla 2014). يمكن تفسير كفاءة التضادية العالمية للفطر *T. harzianum* تجاه العديد من المسببات المرضية إلى امتلاكه العديد من الآليات و منها ظاهرة التطفل الفطري، إذ يلتقط غزله

جدول (4) كفاءة الفطر *R. solani* و *F. oxysporum* f.sp. *lycopersici* في نمو الفطريين الممرضين *T. harzianum* في الوسط الغذائي .P.D.A

كفاءة الفطر *T. harzianum* في حماية بذور و بادرات بعض التراكيب الوراثية لنباتات الطماطة من الاصابة بالفطريات الممرضة *F. oxysporum* و *R. solani* f.sp. *lycopersici*

يلاحظ من خلال النتائج المبينة في جدول (5) ان أعلى نسبة لانباتات البذور كانت في هجين الطماطة Ginan المعاملة بالفطر الاحيائي *T. harzianum* فقط (%86.83) و التي اختلفت بفارق معنوي عن نسبة الانباتات لبذور نفس الهجين غير المعامل بالفطر *T. harzianum* و التي بلغت فيها نسبة انباتات البذور 80.16%. كما لوحظ ان اقل نسبة لانباتات البذور كانت في هجين الطماطة Ghazalah المعاملة بالفطريات الممرضة *F. oxysporum* و *R. solani* f.sp. *lycopersici* و البالغة 33.72% و 31.48% و التي اختلفت بفارق معنوي عن معاملة المقارنة التي بلغت فيها نسبة انباتات البذور 74.45%. اعطت نتائج التداخل بين الفطر *F. R. solani* و الفطريات الممرضة *T. harzianum* و *F. oxysporum* f.sp. *lycopersici* اعلى نسبة لانباتات بذور

الطمادة *Ginan* و التي اختلفت بفارق معنوي عن معاملة المقارنة الحاوية على الفطر الممرض لوحدة. قد يعود زيادة كفاءة الفطر *T. harziznum* في توفير الحماية لبذور ونباتات الطمادة من الاصابة بالفطريات الممرضة انتاجة للعديد من المواد التي تعمل على كبح فعل الممرضات في التربة او دورها في استحثاث المقاومة الجهازية في النبات من خلال انتاجة مواد كيميائية تعمل على تثبيط او قتل المسببات المرضية (Shelar و Chavan، 2015).

معاملة المقارنة (غير الحاوية على الفطر الممرض (20.64 سم).

اما بالنسبة الى الاوزان الجافة للنباتات المعاملة، فقد لوحظ ان اعلى وزن جاف كان عند هجين الطمادة *Ginan* المعامل بالفطر *T. harzianum* التي بلغت 0.626 غم /نبات و التي لم تظهر فرقاً معنوياً عن معدل الوزن الجاف للنباتات غير المعاملة بأي من الفطريات المستعملة في الدراسة. كما اظهر التداخل بين الفطر *T. harzianum* و الفطر الممرض *R. solani* زيادة في الاوزان الجاف لنبات

جدول (5) تأثير بعض عوامل المكافحة في حماية بذور و بادرات بعض التراكيب الوراثية لنبات الطماطة من الاصابة بالفطريات
F. oxysporum f.sp. lycopersici و *R. solani*

الوزن الجاف (غم/نبات)	طول النبات (سم)	تعفن البذور (%)	الإباتات (%)	المعاملة	التركيب الوراثي
0.384	11.13	36.48	63.52	Control	Selmoren
0.023	4.62	61.68	38.32	<i>F. oxysporum f.sp. lycopersicum</i>	
0.027	5.17	69.91	30.09	<i>R. solani</i>	
0.22	10.59	29.81	70.19	<i>T. harzianum</i>	
0.101	8.12	39.82	60.18	<i>T. harzianum+ F. oxysporum f.sp. lycopersicum</i>	
0.097	6.49	43.15	56.85	<i>T. harzianum+ R. solani</i>	
0.79	20.78	19.84	80.16	Control	Ginan
0.405	14.67	45.04	54.96	<i>F. oxysporum f.sp. lycopersicum</i>	
0.396	15.22	53.27	46.73	<i>R. solani</i>	
0.626	20.64	13.17	86.83	<i>T. harzianum</i>	
0.507	18.17	23.18	76.82	<i>T. harzianum+ F. oxysporum f.sp. lycopersicum</i>	
0.503	16.54	26.51	73.49	<i>T. harzianum+ R. solani</i>	
0.421	14.35	24.48	75.52	Control	Wardeh
0.048	7.84	50.22	49.78	<i>F. oxysporum f.sp. lycopersicum</i>	
0.056	8.39	57.91	42.09	<i>R. solani</i>	
0.351	13.81	17.81	82.19	<i>T. harzianum</i>	
0.141	11.66	31.15	68.85	<i>T. harzianum +F. oxysporum f.sp. lycopersicum</i>	
0.111	11.34	34.81	65.19	<i>T. harzianum +R. solani</i>	
0.128	13.19	25.55	74.45	Control	Ghazalah
0.079	6.68	68.52	31.48	<i>F. oxysporum f.sp. lycopersicum</i>	
0.092	7.23	66.28	33.72	<i>R. solani</i>	
0.178	12.65	24.87	75.13	<i>T. harzianum</i>	
0.124	10.18	42.22	57.78	<i>T. harzianum+ F. oxysporum f.sp. lycopersicum</i>	
0.123	8.55	48.92	51.08	<i>T. harzianum+ R. solani</i>	
0.092	0.631	-	4.638	L.S.D. (0.05)	

(References cited) المصادر

- Cai H., Caswell J. and Prescott J. .(2014).** Non culture molecular techniques for diagnosis of bacterial disease in animals a diagnostic laboratory perspective. *Journal of Veterinary Pathology*, 51: 341–350.
- Dewan M. M. .(1989).** Identity and frequency of occurrence of fungi in roots of Wheat and rye grass and their affection take-all and host growth. Ph.D. Thesis. University of Wes. Australia. 210 pp.
- Fang Y. and Ramasamy R. P. .(2015).** Current and prospective methods for plant disease detection. *Biosensors*, 4: 537- 561.
- Gautam S. S., Kanchan K., Satsangi G. P. .(2015).** Effect of *Trichoderma* species on germination and growth of Mungbean (*Vigna radiata* L.) and its antagonistic effect against fungal pathogens. *International Journal of Advanced Research*, 3(2): 153-158.
- Hiluf K. G and Ayalew A. A. .(2015).** Assessment of pesticide use, practice and environmental effects on the small holder farmers in the north shoa zone of amhara national regional state of ethiopia. *Research journal of agricultural and environmental sciences*, 2(2): 16-24.
- Horace J. A., Estrada M., Galindo E. and Serrano-Carreón L. (2015)** From shake flasks to stirred fermentors: Scale-up of an extractive fermentation process for 6-pentyl-pyrone production by *Trichoderma harzianum* using volumetric power input. *Process Biochem*, 41 (6):1347-1352.
- Mokhtar H. and Dehimat A. .(2014).** Department of Nature and *In vitro* and *in vivo* efficiency of *Trichoderma harzianum* against *Rhizopus* soft rot occurred on tomato fruits (*Lycopersicon esculentum*). *Agriculture and Biology Journal of North America*, 5(6): 240-244.
- Mukhtar T., Hussain M. A. 2 and Muhammad Z. K. .(2013).** Biocontrol potential of *Pasteuria penetrans*, *Pochonia* شعبان ، عواد ونزار مصطفى الملاح .(1993). المبيدات، دار الكتب للطباعة والنشر. جامعة الموصل. 397 صفحة.
- الراوي، خاشع محمود و خلف الله، عبد العزيز محمد .(1980). تصميم وتحليل التجارب الزراعية، دار الكتب للطباعة والنشر. جامعة الموصل. 488 صفحة.
- الكعبي، عقيل نزال و الشجيري، كريم عبد الحسين و عبدالواحد، صالح عبدالواحد .(2009). تأثير بعض المبيدات الكيميائية الفطرية و فطريات المقاومة الإحيائية في مقاومة مرض تعفن بنور و موت بادرات الطماطة المتسبب عن الفطرين الممرضين *Rhizoctonia solani* Kühn و *Fusarium solani* Marti. مجلة القادسية للعلوم الصرفية، المجلد 14 (3)، صفحة 11-1.
- Akrami M., Yousefi Z. .(2015).** Biological control of *Fusarium* wilt of tomato (*Solanum lycopersici*) by *Trichoderma* spp. as antagonist fungi. *Biological Forum -An International Journal*, 7(1): 887-892.
- Alaei H., Amir H. and Ali D. (2012)** Molecular characterization of the rDNA-ITS sequence and a PCR diagnostic technique for *Pileolaria terebinthi*, the cause of pistachio rust. *Phytopathologia Mediterranea* 51, 3, 488-495.
- Arif M., Shilpi C., Zaidi N. W., Rayar J. K., Variar M. and Singh U. S. .(2012).** Development of specific primers for genus *Fusarium* and *F. solani* using rDNA sub-unit and transcription elongation factor (TEF-1 α) gene. *African Journal of Biotechnology*, 11(2), 444-447.
- Attitalla I. H. .(2004).** Biological and molecular characteristics of microorganism-stimulated defense response in *Lycopersicon esculentum*. PhD thesis. University. Uppsala, Sweden. 82 pp.
- Bonnarme P., Djian A., Latrasse A., Féron G., Giniès C., Durand A. and Le Queré J. L. .(1997).** Production of 6-pentyl- β -pyrone by *Trichoderma* spp. from vegetable oils. *Journal of Biotechnology*, 56 (2): 143-150

Biotechnology Letters, 26(18): 1403-1406.

Shelar G. B., Chavan A. M. .(2015). Myco-synthesis of silver nanoparticles from *Trichoderma harzianum* and its impact on germination status of oil seed. *Biolife*, 3: 109-113.

Singh R. S. .(2005). Plant Diseases. New Delhi, India: Oxford and IBH.

Taylor R. J., Salas B., Secor G. A., Rivera V., Gudmestad N. C. .(2002). Sensitivity of North American Isolate *Phytophthora erythroseptica* and *Pythium ultimum* to mefonoxam (metalaxyl). *Plant Disease*, 86: 797- 802.

William W. W., Mackey K. and Chomczynski P. .(1997). Effect of pH and ionic strength on the spectrophotometric assessment of nucleic acid purity. *Biotechniques* 22: 474-481.

chlamydosporia, *Paecilomyces lilacinus* and *Trichoderma harzianum* against *Meloidogyne incognita* in okra. *Phytopathologia Mediterranea* 52(1): 66-76.

Rahnama N., Foo H. L., Rahman N. A. A. and Ariff A..(2015). Saccharification of rice straw by cellulase from a local *Trichoderma harzianum* SNRS3 for biobutanol production. *BMC Biotechnology* 23: 1-12.

Ramos A. S., Fiaux S. B. and Leite S. G. .(2009). Production of 6-pentyl- β -pyrone by *Trichoderma harzianum* in solid-state fermentation. *Brazilian Journal of Microbiology* 39:712-717.

Romberg M. K. and Davis R. M. .(2007). Host range and phylogeny of *Fusarium solani* f. sp. *eumartii* from potato and tomato in California. *Plant Dis.* 91: 585-592.

Rubeena M., Kannan N., S. Sajith, S. Sreedevi, Prakasan P., Unni K. N., Josh M. K., Jisha V. N., Pradeep S. and Benjamin S. .(2013). Lignocellolytic activities of a novel strain of *Trichoderma harzianum*, *Advances in Bioscience and Biotechnology*, (4): 214-221.

Serrano-Carreón L., Flores C., Rodríguez B. and Galindo E .(2004). *Rhizoctonia solani*, an elicitor of 6-pentyl- β -pyrone production by *Trichoderma harzianum* in a two liquid phases, extractive fermentation system.